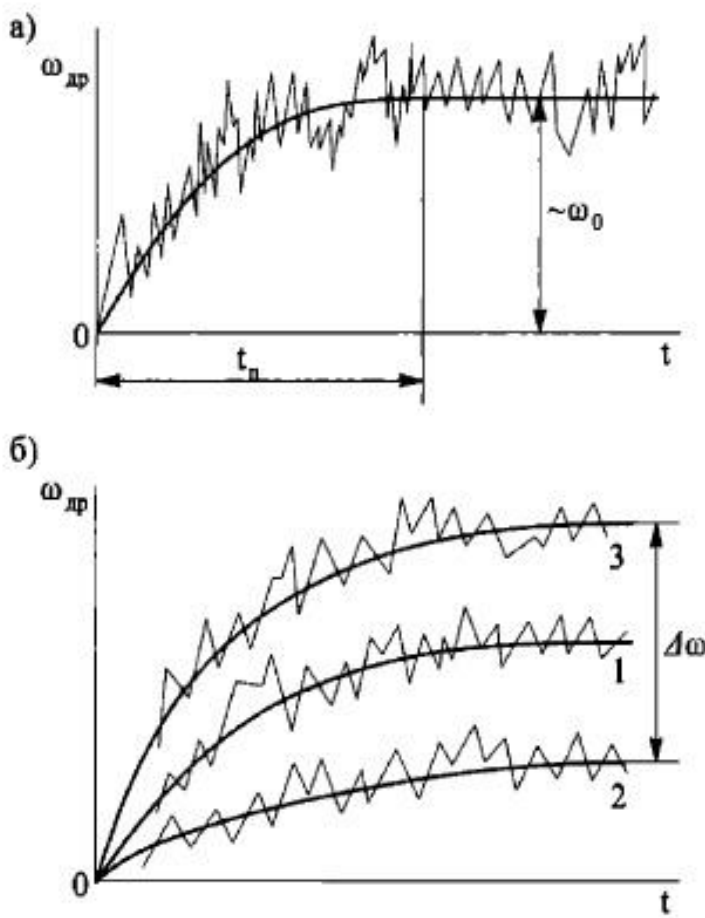


## Билет 15

### 1. Сферический гироскоп

Классический сферический гироскоп (рис. 33) представляет собой быстровращающуюся сферу, подвешенную с помощью бесконтактного подвеса — электростатического (рис. 34), газового, жидкостного и др. Сферический гироскоп может быть чувствительным элементом БИНС, ИНС, систем ориентации и гиростабилизаторов. К сферическим относятся также гироскопы головок самонаведения, имеющие сферический шарикоподшипниковый подвес.

Положение сферы ( $Ox'y'z'$ ) определяется углами  $\alpha$ ,  $\beta$ ,  $\varphi$  (рис. 33, а) относительно базовой СК  $O\xi\eta\zeta$ .



**Рис. 32.** Зависимость  $\omega_{dp}$  от времени  $t$ :

*a* — в одном запуске ( $t_n$  — время переходного процесса); *б* — от запуска к запуску (1—3)

Условие устойчивости сферического гироскопа, при котором затухают нутационные колебания, имеет вид

$$CD_x > AD_z,$$

где  $C, A$  — осевой и экваториальный моменты инерции ротора ( $Ox'y'z'$  — главные оси инерции; в дальнейшем опускаем);  $D_x, D_z$  — удельные демпфирующие моменты (относительно осей  $Ox'$  и  $Oz'$ ).

При  $D_x = D_z$  необходимо обеспечить  $C > A$  путем утолщения сферы по экватору (рис. 33, б) или с помощью технологического пояска (рис. 33, в). При анализе точности устойчивого сферического гироскопа можно пользоваться прецессионными уравнениями, считая  $H = \text{const}$ .

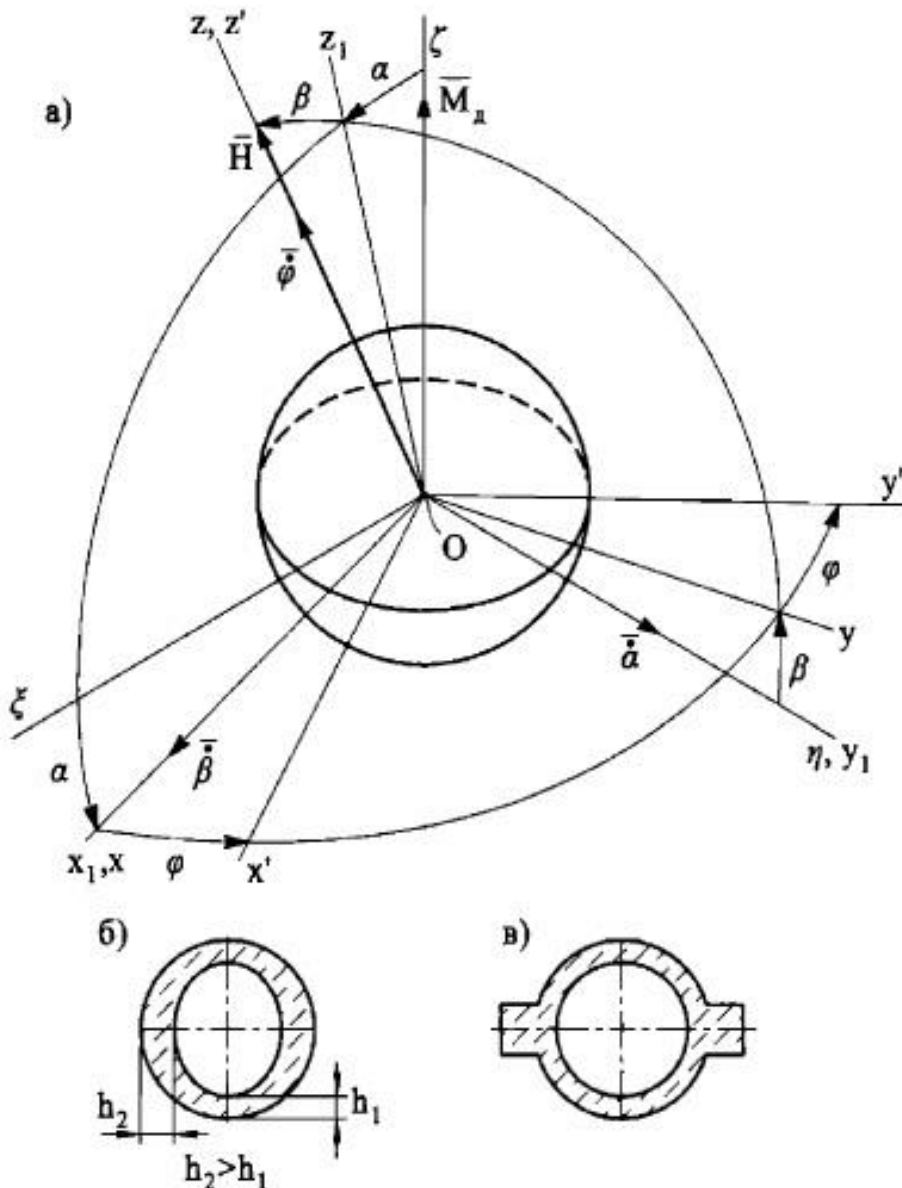


Рис. 33. К выводу уравнений движения сферического гироскопа

Полагая СК  $O\xi\eta\zeta$  неподвижной, найдем абсолютные угловые скорости при малых  $\alpha$  и  $\beta$ :

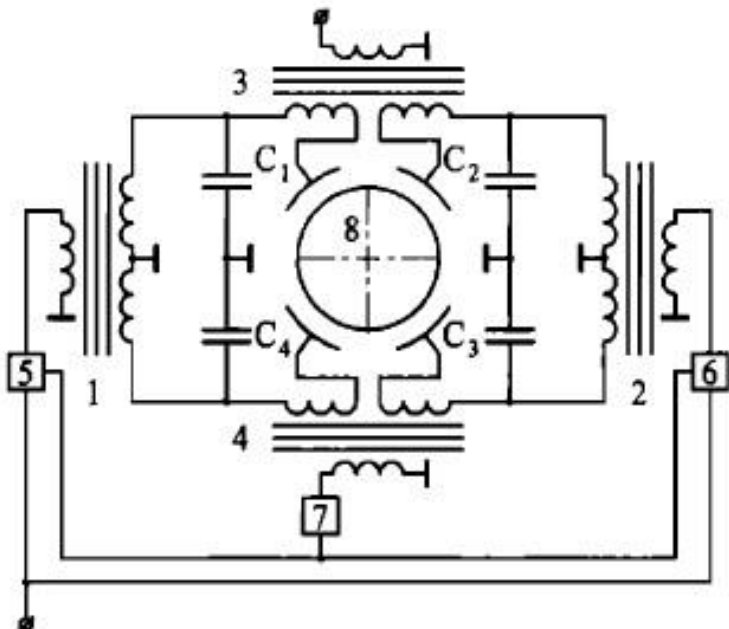
$$\omega_x \approx \dot{\beta};$$

$$\omega_y = \dot{\alpha} \cos \beta \approx \dot{\alpha}.$$

Проекции момента  $M_g$  двигателя, направленного по оси  $O\zeta$  (оси статора двигателя) на оси  $Ox$  и  $Oy$ :

$$M_x = -M_d \sin \alpha \approx -\alpha M_d;$$

$$M_y = M_d \cos \alpha \sin \beta \approx \beta M_d.$$



**Рис. 34.** Принципиальная схема электростатического гироскопа:  
1, 2 — элементы питания; 3, 4 — элементы системы определения положения  
ротора (датчики положения); 5, 6 — усилители мощности; 7 — фазочувстви-  
тельный усилитель; 8 — ротор;  $C_1$ — $C_4$  — разделительные конденсаторы

Прецессионные уравнения движения гироскопа для СК  $Oxyz$ :

$$\Sigma M_x = 0; \quad -H\dot{\alpha} - \alpha M_d + M_x = 0;$$

$$\Sigma M_y = 0; \quad H\dot{\beta} + \beta M_d + M_y = 0,$$

где  $M_x$ ,  $M_y$  — внешние (вредные, управляющие) моменты.

После преобразования уравнений получим

$$\begin{aligned} \dot{\alpha} + \varepsilon\alpha &= \omega_{CCP}; \\ \dot{\beta} + \varepsilon\beta &= \omega'_{CCP}, \end{aligned} \quad (43)$$

где  $\varepsilon = M_d/H$  — удельная скорость прецессии сферического гироскопа, вызванная моментом двигателя;  $\omega_{CCP} = \frac{M_x}{H}$ ;  $\omega'_{CCP} = -\frac{M_y}{H}$  — ССП под действием вредных моментов  $M_x$ ,  $M_y$ .

При  $M_x = M_y = 0$  решение (43) имеет вид  $\alpha = \alpha_0 e^{-\varepsilon t}$ ;  $\beta = \beta_0 e^{-\varepsilon t}$ , где  $\alpha_0$ ,  $\beta_0$  — углы, характеризующие начальное положение оси ротора при  $t = 0$ .

Траектория апекса на картинной плоскости — прямая  $\alpha = \frac{\alpha_0}{\beta_0} \beta$ , т. е. ось гироскопа «корректируется» моментом дви-

гателя и движется кратчайшим путем к совмещению с вектором  $M_d$  (своеобразная радиальная коррекция), что приводит к погрешности сферического гироскопа; при наличии момента двигателя сферический гироскоп «теряет» свойства свободного гироскопа.

Оценим погрешность сферического гироскопа, считая, что двигатель уравновешивает момент сил вязкого трения (газодинамический момент сопротивления вращению ротору)  $M_d = D_z \dot{\phi}$ . Тогда  $\varepsilon = \frac{D_z \dot{\phi}}{C\dot{\phi}} = \frac{1}{T}$ , где  $T = \frac{C}{D_z}$  — постоянная времени сферического гироскопа.

При отклонении ротора гироскопа на углы  $\alpha^*$ ,  $\beta^*$  скорость его прецессии

$$\dot{\alpha} = \omega_{CCP}^* = \omega_{CCP} - \frac{\alpha^*}{T}; \quad \dot{\beta} = \omega_{CCP}^{**} = \omega'_{CCP} - \frac{\beta^*}{T},$$

т. е. гироскоп должен работать при малых углах  $\alpha^*$ ,  $\beta^*$  и с малым удельным демпфирующим моментом  $D_z$ .

Если имеются разбалансировка ротора, неравножесткость подвеса, то модель погрешности сферического гироскопа запишем с учетом выражения (41):

$$\omega_{CCP}(n) = \frac{\theta^*}{T} + \omega_0 + \omega_1(g)n + \omega_2(g^2)n^2 + \dots, \quad (44)$$

где  $\theta^*\{\alpha^*, \beta^*\}$  — угол отклонения от оси Oz;  $\omega_0$ ,  $\omega_1(g)$ ,  $\omega_2(g^2)$  — удельные составляющие ССП;  $n$  — линейная перегрузка.

Для электростатических гироскопов навигационных систем подводных лодок  $\omega_0 \approx 10^{-5} \text{ }^{\circ}/\text{ч}$ , КЛА —  $10^{-2} \dots 10^{-5} \text{ }^{\circ}/\text{ч}$ , сферических гироскопов головок самонаведения — до  $10 \text{ }^{\circ}/\text{ч}$ .

В модели (44) появляется характерная зависимость ССП от угла  $\theta^*$  отклонения оси сферы относительно вектора момента приводного двигателя. Для уменьшения этой погрешности применяют двигатель, в котором с помощью специальной следящей системы обеспечивается совпадение осей сферы и вектора момента двигателя.

## 2. Модель погрешностей гироскопа от температуры

В 1960-е годы появился термин «модель погрешности гироскопа», под которым подразумевалась, как правило, аналитическая зависимость скорости дрейфа от условий эксплуатации: перегрузки, температуры, времени эксплуатации и др.

Применение этого термина имело следующие цели:

- разработка унифицированного паспорта гироприбора (независимо от фирмы-изготовителя);

- создание единой методики оценки погрешностей гироскопов на стадии изготовления и приемосдаточных испытаний, которая позволяет вмешиваться в процесс балансировки и регулировки прибора для повышения его точности;

- разработка методики прогнозирования погрешности гироприбора в процессе эксплуатации и методов алгоритмической компенсации погрешностей гироприборов и гirosистем.

Рассмотрим простейшую модель погрешности трехстепенного гироскопа с шарикоподшипниковыми опорами (рис. 31, а) при наличии линейной перегрузки  $n_\zeta = \frac{W_\zeta}{g}$ ,  $n_\eta = \frac{W_\eta}{g}$ ,  $n_\xi = \frac{W_\xi}{g}$ , где  $W_\zeta$ ,  $W_\eta$ ,  $W_\xi$  — проекции ускорений объекта на оси  $O\zeta$ ,  $O\eta$ ,  $O\xi$ .

Возмущающий (вредный) момент шарикоподшипниковой опоры внутренней рамки гироскопа

$$M_{шп} = M_0 + K_r F_r + K_a F_a, \quad (35)$$

где  $M_0$  — составляющая возмущающего момента опоры, которая не зависит от нагрузки;  $F_r$ ,  $F_a$  — радиальная и осевая силы, действующие на опору;  $K_r$ ,  $K_a$  — коэффициенты, определяемые по справочнику в зависимости от типа, конструкции и условий эксплуатации шарикоподшипников.

В рассматриваемом случае

$$F_r = m \sqrt{W_\zeta^2 + W_\eta^2} = mW_r = Gn_r;$$

$$F_a = mW_\xi = Gn_\xi,$$

где  $m$  — масса гироузла (ротора и внутренней рамки);  
 $n_r = \sqrt{W_\zeta^2 + W_\eta^2}/g$ .

Учтем разбалансировку гироузла, характеризуемую смещением центра масс гироузла относительно т.  $O$  в осевом  $l_z$  и радиальном  $l_y$  направлениях (рис. 31, б). Момент, вызванный разбалансировкой,

$$M_{px} = mW_\zeta l_z - mW_\eta l_y = G(l_z n_\zeta - l_y n_\eta). \quad (36)$$

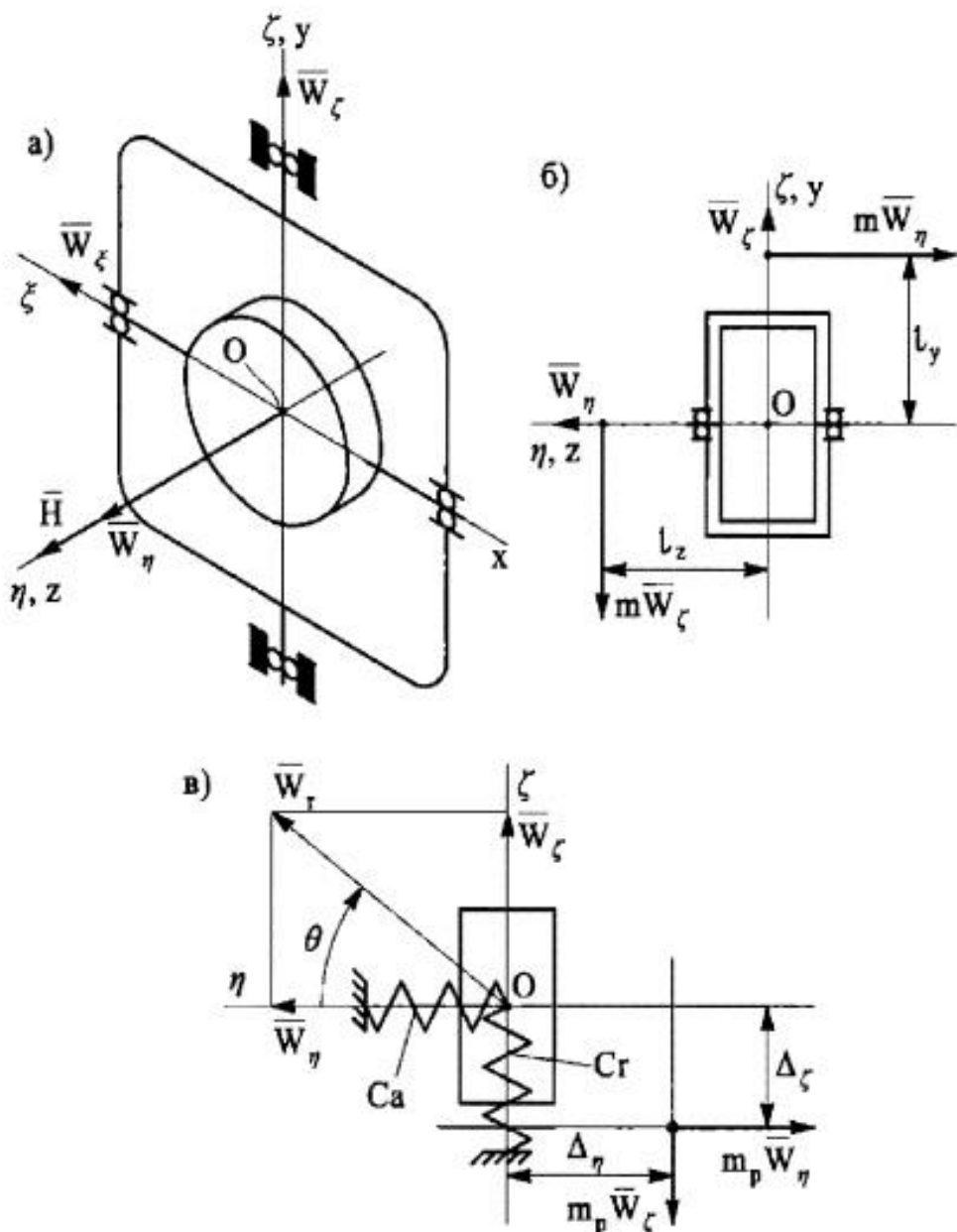


Рис. 31. К определению моментов, действующих вокруг оси  $Ox$  гироузла

Для упрощения выкладок учтем только осевую разбалансировку:

$$M_{px} = Gl_z n_\zeta. \quad (37)$$

Определим момент, вызванный неравножесткостью крепления ротора в главных опорах гироскопа. Механическая модель ротора показана на рис. 31, в, где  $C_r, C_a$  — приведенные жесткости крепления ротора в радиальном и осевом направлениях.

Инерционная сила  $m_p W_\zeta$  вызовет смещение центра масс  $m_p$  ротора  $\Delta_\zeta = \frac{m_p W_\zeta}{C_r}$ , а  $m_p W_\eta$  — смещение  $\Delta_\eta = \frac{m_p W_\eta}{C_a}$ . Следовательно, вокруг оси  $Ox$  возникает возмущающий момент, вызванный нежестким креплением ротора:

$$M_{\text{нж}} = m_p W_\eta \Delta_\zeta - m_p W_\zeta \Delta_\eta = m_p^2 W_\zeta W_\eta \left( \frac{1}{C_r} - \frac{1}{C_a} \right). \quad (38)$$

Обычно  $C_r > C_a$ ; обозначив  $K_{\text{нж}} = \frac{1}{C_a} - \frac{1}{C_r}$ ,  $W_\zeta = W_r \cos \theta$ ,  $W_\eta = W_r \sin \theta$ , получим  $M_{\text{нж}} = -0,5 G_p^2 n_r^2 K_{\text{нж}} \sin 2\theta$  и максимальные значения ( $n_r = W_r/g$ )

$$M_{\text{нж max}} = -0,5 K_{\text{нж}} G_p^2 n_r^2. \quad (39)$$

Просуммируем уравнения (35), (37), (38) и разделим сумму моментов на  $H$ . Тогда

$\omega_{\text{CCP}}(n) = \omega_0 + \omega_{1r}(g)n_r + \omega_{1a}(g)n_\xi + \omega_{1pb}(g)n_\zeta + \omega_2(g^2)n_r^2$ ;  
где  $\omega_0 = \frac{M_0}{H}$ ,  $\omega_{1r}(g) = \frac{K_r G}{H}$ ,  $\omega_{1a}(g) = \frac{K_a G}{H}$ ,  $\omega_{1pb}(g) = \frac{l_2 G}{H}$ ,  
 $\omega_2(g^2) = \frac{0,5 K_{\text{нж}} G_p^2}{H}$  — удельные составляющие скорости дрейфа (CCP).

Приняв  $n_r = n_\zeta = n_\xi = n$ , получим более простую зависимость для зависимости скорости дрейфа от перегрузки:

$$\omega_{\text{др}}(n) = \omega_0 + \omega_1(g)n + \omega_2(g^2)n^2, \quad (40)$$

где  $\omega_1(g) = \omega_{1r}(g) + \omega_{1a}(g) + \omega_{1pb}(g)$ .

Нелинейность жесткостной характеристики главных опор гироскопа, погрешности геометрической формы шарикоподшипниковых опор и другие несовершенства конструкции при-

водят к более сложной зависимости модели погрешности гироскопа от степени перегрузки:

$$\omega_{dp} = \sum_{i=0}^{i=n} \omega_i(g^i) n^i. \quad (41)$$

При больших перегрузках степени  $i$  могут быть нецелыми числами (например,  $i = 1,5$ ); максимальная степень  $i \leq 5$ .

Зависимость погрешности гироскопа от температуры  $\Delta t$  ( $^{\circ}\text{C}$ ) с учетом скорости изменения температуры (модель погрешности) имеет вид

$$\omega_{dp}(\Delta t \ ^{\circ}\text{C}) = \sum_{i=0}^{i=m} \omega_i(\Delta t^i) \Delta t^i + K_{\Delta t} \frac{\Delta t}{t}, \quad (42)$$

где  $\omega_i(\Delta t^i)$ ,  $K_{\Delta t}$  — удельные составляющие ССП.

В инженерной практике  $m \leq 2$ , т. е.  $i$  принимает значение 0, 1, 2; наиболее часто выбирают  $i = 1$ .

Временные зависимости  $\omega_{dp}$  более сложные, и их определяют экспериментальным путем. В одном запуске часто  $\omega_{dp}$  в среднем изменяется по экспоненциальному закону (рис. 32, а), реже по линейной зависимости и др. Время переходного процесса может быть значительным — до нескольких часов в зависимости от типа конструкции гироскопа. Всегда имеется разброс  $\Delta\omega$  среднего значения  $\omega_{dp}$  от запуска к запуску прибора (рис. 32, б), что затрудняет алгоритмическую компенсацию погрешностей гироскопа.